

• 临床基础研究 •

白细胞介素 37 对 THP-1 源巨噬细胞泡沫化的影响*

黄婷¹ 王博远² 任泽鹏³ 王祥² 李大主²

[摘要] 目的:研究白细胞介素(白介素)-37 对人 THP-1 源巨噬细胞泡沫化的影响及机制。方法:体外培养 THP-1,用佛波酯(PMA)刺激 24 h 使其分化为巨噬细胞后,进行以下处理:①用 IL-37 和(或)ox-LDL 刺激 THP-1 源巨噬细胞 24 h;②用不同浓度的 IL-37 和 ox-LDL 同时刺激 24 h;③用 ox-LDL 刺激 THP-1 源巨噬细胞 24 h,再加 IL-37 干预 24 h,收集细胞。采用油红染色观察各组泡沫细胞所占细胞总数的比例,TC 试剂盒测定细胞内 TC 的含量,利用 RT-PCR、Western blot 实验方法从 mRNA 水平和蛋白水平测定泡沫细胞清道夫受体 CD36 和 SRA 和 ABCA-1 的表达。结果:与对照组比较,IL-37 能够明显减少泡沫细胞的形成,降低泡沫细胞 TC 的聚集 [(303.10±8.90)ng/mg : (150.40±7.36)ng/mg, P<0.01],显著抑制巨噬细胞清道夫受体 CD36 和 SRA 的表达,并增强 ABCA-1 的表达,且作用效果与浓度呈正相关。对 ox-LDL 诱导的泡沫细胞,给予 IL-37 后仍能够显著上调 ABCA1 的表达,显著下调 SRA、CD36 的表达。结论:白细胞介素-37 可抑制 THP-1 源巨噬细胞的泡沫化,其作用机制可能是通过 IL-37 抑制清道夫受体 CD36 和 SRA、促进 ABCA-1 的表达实现的。

[关键词] IL-37; 清道夫受体; THP-1; 泡沫细胞**doi:** 10.13201/j.issn.1001-1439.2014.04.019**[中图分类号]** R541.4 **[文献标志码]** A**Effect of IL-37 on THP-1 differentiated foam cells formation**HUANG Ting¹ WANG Boyuan² REN Zepeng¹ WANG Xiang¹ LI Dazhu¹¹Department of Geriatrics, the First Hospital of Wuhan, Wuhan, 430022, China;²Department of Cardiology, Union Hospital, Huazhong University of Science & Technology³Department of Cardiology, Erdos City Center Hospital)

Corresponding author: LI Dazhu, E-mail:Lidazhuhp@sohu.com

Abstract Objective: To investigate how IL-37 affects macrophages foam-cell formation, and thereby investigate the mechanism of IL-37 in the development of atherosclerosis. **Method:** THP-1 cells were differentiated into macrophages using 160 nMPMA for 24 h. And then with ox-LDL or IL-37 combine with ox-LDL, thereof in growth medium for 24 hours to transform macrophages into foam cells. THP-1 cells differentiated macrophages were stimulated with ox-LDL for 24 h, then with 10 ng/ml IL-37 for another 24 hours. Oil red O staining and cellular lipid measurement were used to identify macrophage foam cell formation. Real-time PCR and Western blot were carried out to explore the mechanism of IL-37-mediated suppression on THP-1-macrophages derived foam cell formation. **Result:** Oil Red O staining identified foam cell formation was significantly reduced in cells treated with IL-37 and ox-LDL. The similar effect of IL-37 was obtained when extracted oil red O and measured by a spectrophotometer. Compared with ox-LDL alone, IL-37 and ox-LDL significantly reduced the lipids accumulation in macrophage foam cells in a concentration-dependent manner. Total cellular cholesterol was significantly reduced in IL-37 and ox-LDL cultures relative to ox-LDL alone [(150.4±7.36)ng/mg vs (303.1±8.9)ng/mg, P<0.01]. Moreover, real-time PCR and Western blot analysis showed that the expression of both CD36 and SRA of macrophage foam cells treated by ox-LDL together with IL-37 was significantly down-regulated, while ABCA-1 up-regulated significantly. **Conclusion:** IL-37 may inhibit THP-1 differentiated macrophage foam-cell formation, which is largely caused by a down-regulated expression of scavenger receptor SRA and CD36 and up-regulated expression of ABCA-1.

Key words interloukin-37; scavenger receptor; THP-1; macrophage foam cell

动脉粥样硬化(AS)是一种累及全身血管的慢

性病变。AS 不仅仅是脂质代谢紊乱,同时也是一种慢性炎症性疾病,多种免疫细胞及细胞因子参与了其发生与进展。单核细胞迁移到内皮下转化为具有吞噬作用的巨噬细胞,通过清道夫受体(scavenger receptor, SR)吞噬脂质形成泡沫细胞,释放

*基金项目:国家自然科学基金资助项目(No:81370406)

¹武汉市第一医院老年病科(武汉,430022)²华中科技大学附属协和医院心内科³鄂尔多斯市中心医院心内科

通信作者:李大主, E-mail:Lidazhuhp@sohu.com

一系列炎性因子及趋化蛋白,启动炎症级联反应,促进 AS 进展。此外,泡沫细胞沉积于内皮下,导致内膜进一步改变。白细胞介素(IL)被认为是调节 AS 进展中泡沫细胞形成的关键因素。IL-37 能够抑制多种炎性因子的表达,平衡体内促炎因子与抑炎因子,抑制树突状细胞的活化,减轻炎症反应^[1-3]。有实验在 AS 组织泡沫细胞中检测到 IL-37 蛋白表达,但其能否影响单核巨噬细胞的泡沫化尚未明确^[4]。本研究以人单核细胞系 THP-1 为对象,体外模拟巨噬细胞泡沫化的过程,观察 IL-37 的作用,并对可能机制进行探讨。

1 材料与方法

1.1 材料

THP-1 细胞系购自美国 ATCC 公司, RPMI 1640 及胎牛血清购自 Gibic 公司, ox-LDL 购自 Yiyuan Biotechnologies 公司, 小鼠抗人 ABCA-1 单克隆抗体(sc-58219)购自美国 SANTA CRUZ 公司, β-Actin(sc-47778)购自美国 SANTA CRUZ 公司, 兔抗人 CD36 单克隆抗体购自美国 EPITOMICS 公司, 小鼠抗人 SR-A 单克隆抗体购自美国 R&D 公司, Trizol 及 RT-PCR 试剂盒购自日本 Takara 公司, CD36 引物、SRA 引物、ABCA-1 引物、GAPDH 引物由中国武汉擎科生物公司设计合成。

1.2 方法

1.2.1 THP-1 细胞培养 THP-1 细胞为悬浮生长细胞,用含 10% FBS 的 RPMI1640 培养基,培养基加入青霉素(100 U/ml)和链霉素(100 μg/ml),37℃、5% CO₂ 培养箱中静置培养,每 2~3 d 传代 1 次。

1.2.2 巨噬细胞的分化 1 000×g、5 min 离心上述培养的 THP-1 细胞,弃上清,按 1×10⁶/ml 重悬于新的培养基中,接种到 6 孔板或者细胞培养瓶中,加入 PMA(终浓度为 160 nmol/L),37℃、5% CO₂ 培养箱中静置培养 24 h^[5-6],观察细胞贴壁和形态改变。

1.2.3 分组及建立泡沫细胞模型 THP-1 细胞(1×10⁶/ml)在 160 nmol/L PMA 刺激 24 h 分化为巨噬细胞,然后分别给予 ox-LDL(50 mg/ml)、ox-LDL(50 mg/ml)+IL-37(5 ng/ml)、ox-LDL(50 mg/ml)+IL-37(10 ng/ml)、ox-LDL(50 mg/ml)+IL-37(20 ng/ml)。各组细胞均置 5% CO₂、37℃孵箱,培养 24 h。其中仅给予 ox-LDL(50 mg/ml)单独刺激的对照组再进行进一步分组实验,一组给予 IL-37(10 ng/ml),另一组仅更换新鲜培养基,24 h 后收集细胞。

1.2.4 油红 O 染色观察泡沫细胞形态 将 THP-1 培养于放有盖玻片的 6 孔培养板内,用 PMA 刺激 24 h 后,加入 ox-LDL 和(或)IL-37 干预 24 h。待处理结束后,弃上清,用预冷 PBS 液冲洗 3 次。

4% 多聚甲醛固定 2~4 min,0.3% 油红 O 染色液染色 15~20 min,苏木素染色 5 min,盐酸酒精分色,明胶甘油封片,显微镜观察。收集图像并用图像分析系统分析。

1.2.5 细胞内脂质测定 弃干预后的细胞培养液,用预冷 PBS 冲洗 3 次,冰浴 30 min,用细胞刮刮下细胞,800×g 离心 10 min,加入 0.5 ml 的氯仿-甲醇(2:1)混合液研磨,3 000×g、4℃ 离心 30 min,取上清液,加两倍体积的冰生理盐水,3 000×g 离心 30 min,去除上层液体,将下层有机相转移到干燥的 EP 管,用 TC 试剂盒测定 TC,沉淀用 0.1 mmol/L NaOH 0.2 ml 溶解,BCA 法测细胞内蛋白质含量。细胞内胆固醇含量用每克蛋白所含的 TC 表示。

1.2.6 RT-PCR 检测 RNA 提取上述干预后的细胞,用预冷 PBS 冲洗 3 次,每孔加入 1 ml Trizol,静置 10 min,用枪吹打数次,吸入无 RNA 酶的 1.5 ml EP 管中,每管加入 200 μl 氯仿,震荡数秒,室温静置 10 min,12 000×g、15 min,4℃,离心;吸取上层液体层 200~300 μl 到另一 EP 管中,等体积加入预冷的异丙醇,轻轻混匀,-20℃,放置 10 min,12 000×g、15 min,4℃ 离心;弃上清,加入 1 ml 预冷无水乙醇,7 500×g、10 min,4℃,离心;尽最大可能将上清丢弃,加入 20 μl 的 DEPCH₂O。RNA 浓度和纯度测定取 1 μl 所提取的 DNA 溶液加入 99 μl DEPC 水,充分混匀,然后用核酸分析仪检测 A260, A260/A280 比值, RNA 浓度(mg/ml)=A260×100×稀释倍数,A260/A280 比值在 1.8~2.0 纯度较高。逆转录温度梯度 PCR 仪按 37℃ 15 min、85℃ 5 s、4℃ 的程序进行逆转录。PCR 引物序列引物序列为: GAPDH: 5'-CCACCCATGGCAAATTCCATGGCA-3', 5'-TCTAGACCGCAGGTCAGGTCCACC-3'; CD36: 5'-GAGAACTGTTATGGGGCTAT-3', 5'-TTCAACTGGAGAGGCAAAG-G-3'; SR-A: 5'-CCAGGGACATGGAATGCAA-3', 5'-CCAGTGGACCTCGATCTCC-3'; ABCA1: 5'-TGT-CCAGTCCAGTAATGGTTCTG-T3', 5'-AAGCGAGATATGGTCCGGATT-3'。RT-PCR 按 Takara 公司 PCR 试剂盒说明,按 ROX 0.2 μl, SYBR® Premix Ex TaqTM II 5 μl, PCR Forward Primer 0.2 μl, PCR Reverse Primer 0.2 μl, DNA 模板 1 μl, dH₂O 3.4 μl, 配制 10 μl 扩增体系;采取两步法 PCR 扩增标准程序: 95℃、30 s, 95℃、5 s, 60℃ 退火、延伸 30 s, 共 40 个循环。

1.2.7 Western 印迹检测 蛋白质提取上述干预后的细胞,预冷 PBS 冲洗 3 次,细胞刮用力将细胞刮落,用 1 ml PBS 重悬于 1.5 ml EP 管中,3 000×g、10 min,4℃ 离心,弃上清,加入现配的与沉淀体积约等的细胞裂解液和蛋白酶抑制剂复合物,将沉淀吹散,冰浴 30 min,30 s,6 次涡旋,间隔 5 min 进

行1次;12 000×g、10 min,4℃,离心;吸取上清为细胞蛋白质。蛋白浓度测定和变性按照BCA蛋白测定试剂盒的说明,用酶标仪检测样本的蛋白浓度。而后按每个样本上样60 μg分装样本到200 μl的EP管中,95℃、10 min,使蛋白变性。Western blot电泳按浓缩胶60~80 V恒压,分离胶100~150 V恒压,到蛋白Marker条带区分明显或者溴酚蓝到达分离胶最低端;转膜用300 mA恒流,根据目标蛋白分子量大小决定转膜时间;5%脱脂奶粉封闭3 h,TBST洗涤5 min、3次,一抗按说明书要求稀释,摇床冰浴过夜;TBST洗涤5 min、3次,二抗按1:3 000稀释,封闭2 h;TBST洗涤5 min、3次,用Image Lab成像系统检测并收集图像。

1.3 统计学处理

实验均重复3次,实验数据以 $\bar{x}\pm s$ 表示,采用SPSS12.0作统计学处理。组间数据处理根据方差齐性分析的结果,进一步使用SNK检验,进行组间差异的比较, $P<0.05$ 为差异有统计学意义。

2 结果

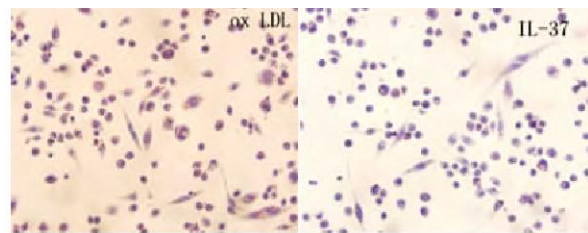
2.1 泡沫细胞形态及细胞内脂质测定

光固定和油红O染色光镜下显示,IL-37+ox-LDL组细胞摄取ox-LDL减少,胞内脂质小滴显著减少,油红O染色阳性细胞较ox-LDL组显著减少,且细胞形态多改变较少(图1)。IL-37+ox-LDL组巨噬细胞内TC水平较ox-LDL组显著减少[(150.4±7.36)ng/mg:(303.1±8.9)ng/mg,

$P<0.01$]。

2.2 THP-1源巨噬细胞CD36、SRA及ABCA-1的表达水平

Ox-LDL(50 mg/ml)组和IL-37(10 ng/ml)+ox-LDL(50 mg/ml)组THP-1源巨噬细胞CD36、SRA及ABCA-1蛋白及mRNA表达水平见表1,不同浓度ox-LDL组表达水平见表2。



左为ox-LDL组,右为IL-37+ox-LDL组。

图1 油红O染色细胞形态($\times 200$)

Table 1 Oil red O staining($\times 200$)

2.3 泡沫细胞CD36、SRA及ABCA-1的表达水平

Ox-LDL(50 mg/ml)组和IL-37(10 ng/ml)+ox-LDL(50 mg/ml)组泡沫细胞CD36、SRA及ABCA-1蛋白及mRNA表达水平见表3。

3 讨论

AS是一种多因素参与的病理过程。脂质代谢紊乱和炎症反应是致AS的最主要的原因,

表1 CD36、SRA及ABCA-1蛋白及mRNA表达水平

Table 1 Protein and mRNA expression of CD36, SRA and ABCA-1

$\bar{x}\pm s$

| 组别 | 蛋白 | | | mRNA | | |
|---------------|-----------|-----------|-----------|-----------|-----------|-----------|
| | CD36 | SRA | ABCA-1 | CD36 | SRA | ABCA-1 |
| ox-LDL组 | 2.96±0.08 | 4.50±0.12 | 0.52±0.09 | 4.96±0.10 | 7.67±0.13 | 0.73±0.11 |
| IL-37+ox-LDL组 | 1.38±0.10 | 2.84±0.08 | 1.26±0.27 | 2.93±0.15 | 5.72±0.08 | 1.24±0.33 |

表2 不同浓度ox-LDL下CD36、SRA及ABCA-1蛋白及mRNA表达水平

Table 2 Protein and mRNA expression of CD36, SRA and ABCA-1 indifferent ox-LDL concentration

$\bar{x}\pm s$

| 组别 | 蛋白 | | | mRNA | | |
|-------------------------|-----------|-----------|-----------|-----------|-----------|-----------|
| | CD36 | SRA | ABCA-1 | CD36 | SRA | ABCA-1 |
| ox-LDL组 | 3.21±0.11 | 5.93±0.13 | 0.58±0.12 | 5.80±0.32 | 8.22±0.15 | 0.86±0.12 |
| IL-37+ox-LDL(5 ng/ml)组 | 2.51±0.13 | 4.72±0.11 | 1.02±0.15 | 4.12±0.27 | 7.67±0.23 | 2.23±0.31 |
| IL-37+ox-LDL(10 ng/ml)组 | 1.28±0.08 | 3.54±0.19 | 3.13±0.27 | 3.86±0.18 | 5.86±0.31 | 3.96±0.17 |
| IL-37+ox-LDL(20 ng/ml)组 | 0.96±0.07 | 2.36±0.13 | 4.11±0.32 | 3.41±0.21 | 3.24±0.33 | 5.10±0.26 |

表3 泡沫细胞CD36、SRA及ABCA-1蛋白及mRNA表达水平

Table 3 Protein and mRNA expression of CD36, SRA and ABCA-1 in foam cells

$\bar{x}\pm s$

| 组别 | 蛋白 | | | mRNA | | |
|---------------|-----------|-----------|-----------|-----------|-----------|-----------|
| | CD36 | SRA | ABCA-1 | CD36 | SRA | ABCA-1 |
| ox-LDL组 | 4.23±0.12 | 6.44±0.13 | 0.43±0.08 | 7.63±0.16 | 9.15±0.18 | 0.65±0.19 |
| IL-37+ox-LDL组 | 2.21±0.13 | 3.96±0.15 | 0.78±0.21 | 3.84±0.09 | 6.49±0.13 | 1.11±0.23 |

彼此相互促进,加速AS的进展。血液中的单核细胞迁移进入内皮下分化为巨噬细胞,通过SR吞噬血管内膜下聚集的脂质尤其是ox-LDL形成泡沫膜细胞,启动AS的进程^[7]。泡沫细胞聚集形成斑块是AS的主要病变特征,同时泡沫细胞的形成启动了动脉内皮下慢性炎症级联反应,促进病变的进展。

研究表明,多种细胞因子在AS泡沫细胞的形成中发挥了重要作用。这些细胞因子可以通过上调或下调巨噬细胞表面SR,调节巨噬细胞对脂质的摄取,促进或者抑制泡沫细胞的形成;也可以通过上调或下调巨噬细胞逆向脂质运输相关蛋白的表达,延缓或加速泡沫细胞的形成。巨噬细胞通过细胞表面表达的一系列SR识别、摄取内皮下脂质^[8];同时也表达逆向胆固醇转运蛋白,处理胞内聚集的脂质;二者的失衡将影响泡沫细胞的形成。本实验表明,IL-37能够抑制THP-1源巨噬细胞摄取ox-LDL,促进胞内脂质外流,减少泡沫细胞的形成,具有抗AS的作用。我们通过油红O染色从形态学观察到IL-37能够减少THP-1源巨噬细胞形成泡沫细胞,降低THP-1源巨噬细胞胞内TC的聚集。与IL-10通过多种机制减少泡沫细胞的形成,其中有些存在争议。本实验明确了IL-37抑制泡沫细胞的机制,与IL-33、TGF-β相似,IL-37通过抑制SRA和CD36,同时增强逆向胆固醇运输蛋白ABCA1的表达,减轻巨噬细胞脂质负荷,减少泡沫细胞的形成,且该作用具有浓度依赖性^[4]。此外,用IL-37和PMA同时刺激THP-1的分化,能够减少巨噬细胞的形成,并且抑制所活化的巨噬细胞形态的改变,如变形、伸出伪足的细胞明显减少,与之前的研究一致^[3]。

研究表明,IL-37具有下调多种炎性因子的作用,减少体内树突状细胞的数量,且可以下调树突状细胞表面蛋白CD86和MHCⅡ表达量,减轻固有免疫和适应性炎症反应^[3]。与IL-33和IL-1α相似,IL-37具有双重生物学活性,一方面作为可溶性细胞因子,通过与IL-18α或者IL-18BP结合,发挥抗炎作用,但是详细的机制尚未阐明;另一方面成熟的IL-37作为核转录因子进入细胞核,与Smad3相互作用,调节多条信号通路的关键酶,包括FAK、Pyk2、MAPKp38、STATs1-4等。转染IL-37的THP-1细胞,受到LPS和IFN-γ刺激后,与对照组相比,FAK、Pyk2、MAP kinase p38α、STATs、p53、TOR的表达显著下调^[1];其中STAT是脂质代谢JAK/STAT信号通路的关键转录因子,通过调控ABCA1的表达影响吞噬细胞逆向转

运胞内脂质;此外,mTOR信号通路、MAPK信号通路也参与了巨噬细胞的脂质代谢^[6]。所以,我们推测成熟的IL-37进入细胞核后,与Smad3结合,通过多条脂质代谢通路调节巨噬细胞SR和胆固醇逆向转运受体的表达,调控巨噬细胞泡沫化,从而影响AS的进程。

SR和逆向胆固醇转运蛋白是巨噬细胞泡沫化的关键因素,SRA和CD36是巨噬细胞结合和摄取ox-LDL的主要受体,ABCA1是巨噬细胞内胆固醇外流的重要转运体。敲除CD36基因后小鼠以及同时敲除CD36,SRA基因小鼠AS进程明显延缓;而上调ABCA1则能够延缓AS的进展,表明CD36、SRA和ABCA1起着重要的作用。本实验结果表明,IL-37可以显著抑制CD36和SRA的表达,促进ABCA1的表达,且有剂量依赖关系。此外,对已形成的泡沫细胞,IL-37也能显著上调ABCA1,下调SRA和CD36的表达。

综上所述,IL-37具有抗AS的作用。结合之前关于IL-37具有下调多种炎性因子、抑制炎性细胞活化、减轻炎症反应的研究,相信IL-37有可能会成为AS预防和治疗的新靶点^[2,5]。

参考文献

- [1] NOLD M F, NOLD-PETRY C A, ZEPP J A, et al. IL-37 is a fundamental inhibitor of innate immunity [J]. Nat Immunol, 2010, 11: 1014–1022.
- [2] MCNAMEE E N, MASTERSON J C, JEDLICKA P, et al. Interleukin 37 expression protects mice from colitis [J]. Proc Natl Acad Sci U S A, 2011, 108: 16711–16716.
- [3] BORASCHI D, LUCCHESI D, HAINZL S, et al. IL-37: a new anti-inflammatory cytokine of the IL-1 family[J]. Eur Cytokine Netw, 2011, 22: 127–1247.
- [4] MCLAREN J E, MICHAEL D R, SALTER R C, et al. IL-33 reduces macrophage foam cell formation[J]. J Immunol, 2010, 185: 1222–1229.
- [5] SAKAI N, VAN SWERINGEN H L, BELIZAIRE R M, et al. Interleukin-37 reduces liver inflammatory injury via effects on hepatocytes and non-parenchymal cells[J]. J Gastroenterol Hepatol, 2012, 27: 1609–1616.
- [6] YU M, KANG X, XUE H, et al. Toll-like receptor 4 is up-regulated by mTOR activation during THP-1 macrophage foam cells formation[J]. Acta Biochim Biophys Sin (Shanghai), 2011, 43: 940–947.
- [7] MOORE K J, TABAS I. Macrophages in the pathogenesis of atherosclerosis[J]. Cell, 2011, 145: 341–355.

(收稿日期:2014-02-09)